



# 第六章：连续时间系统的系统函数

汪彦婷

西北工业大学 软件学院

Email: [yantingwang@nwpu.edu.cn](mailto:yantingwang@nwpu.edu.cn)

- ◆ 6.1 引言
- ◆ 6.2 系统函数的极零图
- ◆ 6.3 系统函数的频域特性与波特图
- ◆ 6.4 系统函数的极零点与系统频域特性的关系
- ◆ 6.5 系统的稳定性

## ■ 系统函数

- 定义：系统零状态响应 $R(s)$ 与激励 $E(s)$ 的比值，即：

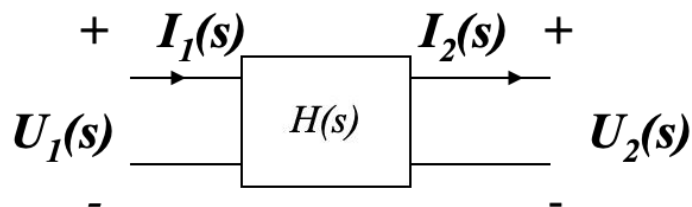
$$H(s) = \frac{R(s)}{E(s)}$$

- 表示系统激励与响应之间的因果关系，是系统特性在复频域中的表现形式。

# 6.1 引言



## ■ 系统函数分类



➤ 从输入端口看：

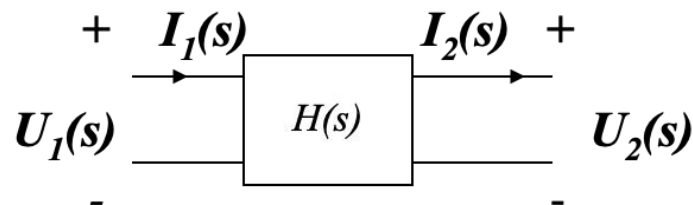
	激励	响应	系统函数
策动点函数 (输入函数)	电压 $U_1(s)$	电流 $I_1(s)$	输入导纳: $Y_{11}(s) = \frac{I_1(s)}{U_1(s)}$
	电流 $I_1(s)$	电压 $U_1(s)$	输入阻抗: $Y_{11}(s) = \frac{U_1(s)}{I_1(s)}$

# 6.1 引言



## ■ 系统函数分类

➤ 从输出端口看:



	激励	响应	系统函数
转移函数 (传输函数)	电流 $I_1(s)$	电压 $U_2(s)$	转移阻抗函数: $Z_{21}(s) = \frac{U_2(s)}{I_1(s)}$
	电压 $U_1(s)$	电流 $I_2(s)$	转移导纳函数: $Y_{11}(s) = \frac{I_2(s)}{U_1(s)}$
	电流 $I_1(s)$	电流 $I_2(s)$	电流传输函数: $T_{i21}(s) = \frac{I_2(s)}{I_1(s)}$
	电压 $U_1(s)$	电压 $U_2(s)$	电压传输函数: $T_{u21}(s) = \frac{U_2(s)}{U_1(s)}$

## ■ 系统函数的作用

- 系统响应求解和成分分析;
  - ✓ 回忆：零状态响应、零输入响应、自然响应、受迫响应的关系；
  - ✓ 系统的零状态响应  $R(s) = E(s)H(s)$  中极点是由  $H(s)$  带来的，对应系统的自然响应，由  $E(s)$  带来的，对应系统的受迫响应；
  - ✓ 系统的零输入响应的极点只能由  $H(s)$  带来，属于自然响应。
- 系统性能分析；

思：如何获得  $H(s)$ ？

  - ✓ 极点决定系统时域和频域特性；
  - ✓ 极点决定系统稳定性；

# 6.1 引言



## ■ 从数学角度

法1：微分方程两边同求LT

➤ 线性系统可以用线性常系数微分方程表示，

$$\sum_{i=0}^n a_i y^{(i)}(t) = \sum_{i=0}^m b_i x^{(i)}(t) \xrightarrow{\text{LT}} \sum_{i=0}^n a_i s^i R(s) = \sum_{i=0}^m b_i s^i E(s)$$

$$\therefore H(s) = \frac{R(s)}{E(s)} = \frac{\sum_{i=0}^m b_i s^i}{\sum_{i=0}^n a_i s^i}$$

与Ch.2中转移算子相似

➤  $H(s)$ 和 $H(p)$ 形式相同， $H(s) = H(p)|_{p=s}$ ，但含义不同；

✓ 时域：  $r(t) = H(p)e(t)$

✓ 复频域：  $R(s) = E(s)H(s)$

法2：  $H(p)$ 简单变量替换；

## ■ 从系统的冲激响应

➤ 近代时域法中,

$$r(t) = e(t) * h(t) \xrightarrow{\text{LT}} R(s) = E(s)H(s) \therefore H(s) = \frac{R(s)}{E(s)}$$

注：它是 $h(t)$ 的LT，同时形式又和系统函数定义一致。因此可得， $h(t) \leftrightarrow H(s)$ 是拉斯变换对！

法3:对冲激响应 $h(t)$ 求LT;

思考： $h(t)$ 和 $H(s)$ 哪个更容易获得？



## ■ 从信号分解角度

- 和FT中的 $H(j\omega)$ 一样， $H(s)$ 也可看作反应系统对复频域中某信号 $e^{st}$ 的幅度和相位影响的函数。
- 对于电感而言，对激励电流信号 $e^{st}$ ，其响应电压为：

$$u_L(t) = L \frac{d}{dt} i_L(t) = L \frac{d}{dt} (e^{st}) = sLe^{st} \quad \therefore \frac{u_L(t)}{i_L(t)} = sL$$

说明：电压信号依然有形式 $e^{st}$ ，只是幅度和相位发生了变化，即电感的运算阻抗 $sL$ 。

- 电容类似，其运算阻抗为 $\frac{1}{sC}$ 。

法4:对电路各个元件进行LT处理，通过KCL或者KVL方程，得到电系统的 $H(s)$ 。

## ■ $H(s)$ 与 $H(p)$ 、 $h(t)$ 、 $H(j\omega)$ 的关系

- $H(s)$ 和 $H(p)$ 形式相同,  $H(s) = H(p)|_{p=s}$ , 但**含义不同**;
  - ✓ 时域:  $r(t) = H(p)e(t)$
  - ✓ 复频域:  $R(s) = E(s)H(s)$
- 拉斯变换对:  $h(t) \leftrightarrow H(s)$ ;
- $H(s)$ 当 $s = j\omega$ 时, 得系统特性在**频域**中的表达形式 $H(j\omega)$ ;

$H(p)$ 、 $H(j\omega)$ 、 $h(t)$ 、 $H(s)$  知一即可;

工程中, 多从 $H(s)$  角度来进行系统的综合和分析;

## ■ 系统函数的表示法

### ➤ 数学表达式法

✓ 对系统微分方程两边同求LT，整理得：

$$H(s) = \frac{b_m s^m + b_{m-1} s^{m-1} + \cdots + b_1 s + b_0}{a_n s^n + a_{n-1} s^{n-1} + \cdots + a_1 s + a_0}$$

简单，但是无法直接看出系统的特性

### ➤ 图示法

- ✓ 极零图；
- ✓ 频率特性曲线与波特图；
- ✓ 复轨迹（极坐标图）（自学）；

- ◆ 6.1 引言
- ◆ 6.2 系统函数的极零图
- ◆ 6.3 系统函数的频域特性与波特图
- ◆ 6.4 系统函数的极零点与系统频域特性的关系
- ◆ 6.5 系统的稳定性

## 6.2 系统函数的极零图



### ■ 极零图

➤ 定义：对于

$$H(s) = \frac{b_ms^m + b_{m-1}s^{m-1} + \cdots b_1s + b_0}{a_ns^n + a_{n-1}s^{n-1} + \cdots a_1s + a_0} = \frac{N(s)}{D(s)}$$

其中，定义  $D(s) = 0$  的根  $p_1, p_2, \cdots p_n$  为极点， $N(s) = 0$  的根  $z_1, z_2, \cdots z_m$  为零点，把极点和零点标绘在  $s$  平面中，即是极点零点分布图，简称极零图。

例：  $H(s) = \frac{(s+2)(s+4)}{s(s+3)(s+5)^2}$

➤ 有了极零图后，系统函数  $H(s)$  基本就可以确定了。因此，可认为极零图是  $H(s)$  的一种图像化表示方法。

## 6.2 系统函数的极零图

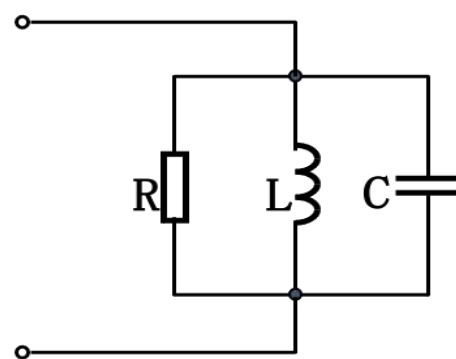


例：并联RLC电路的系统（阻抗）函数为

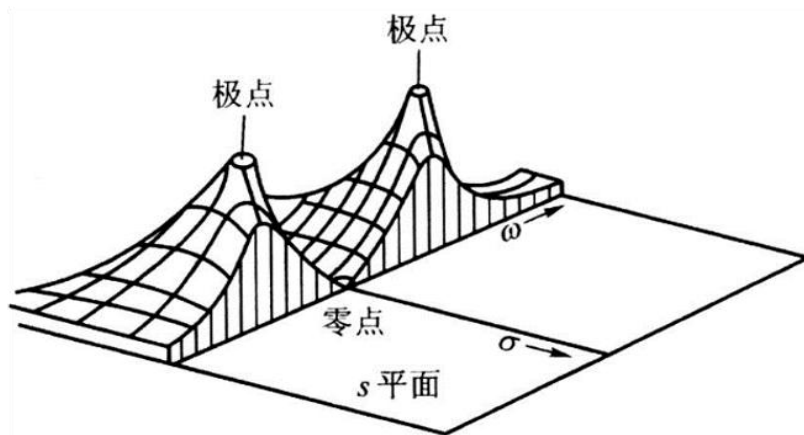
$$H(s) = \frac{1}{\frac{1}{R} + \frac{1}{Ls} + Cs} = \frac{s}{C(s-p_1)(s-p_2)}, \quad \text{其中}$$

$$p_{1,2} = -a \pm j\sqrt{\omega_0^2 - a^2}.$$

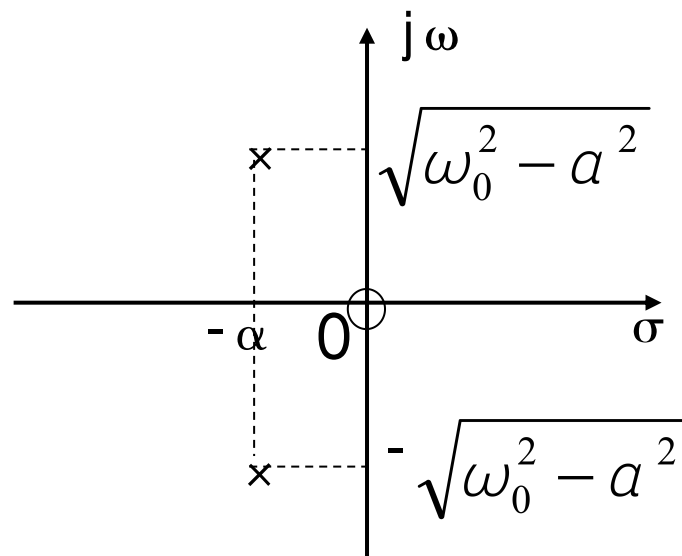
解：



电感:  $Ls$ ;  
电容:  $1/Cs$



$|H(s)|$ 随 $s$ 变化的三维图形



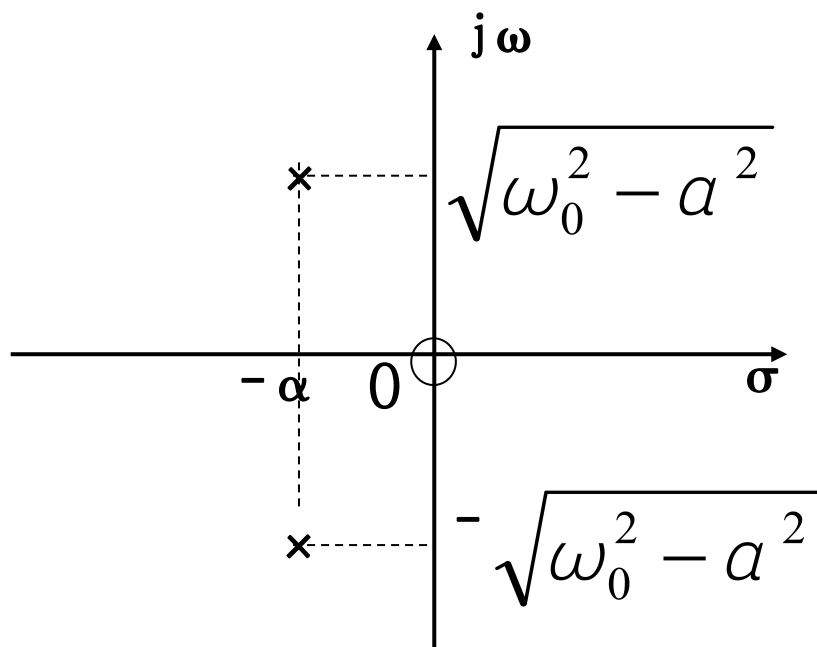
极零图

## 6.2 系统函数的极零图



### ■ 极零图特点

例:  $H(s) = \frac{s}{C(s-p_1)(s-p_2)}$ ,  $p_{1,2} = -a \pm j\sqrt{\omega_0^2 - a^2}$  是一对共轭复数对。



极零图

- 极零点分布的**对称性**: 一般实际系统的  $H(s)$  是一个实系数的有理分式, 其极零点要么是实数, 要么是共轭复数。所以, **极零点关于实轴对称**。
- 如果将无穷远处的极零点考虑在内, 则**极点和零点个数相等**。

## ■ 系统函数极零点与系统自然响应信号模式的关系

- 系统极点是分母多项式的根，也是系统的特征根，决定系统自然响应或者  $r_{zi}(t)$  可能含有的信号模式。

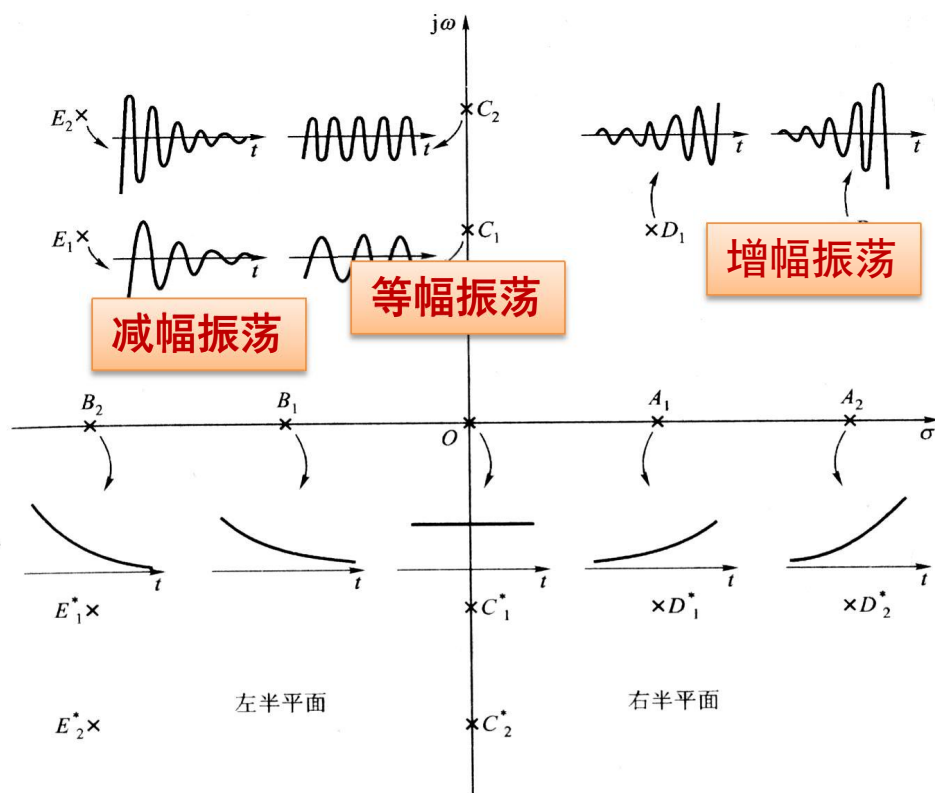
- 若  $H(s) = \sum_{i=1}^n \frac{k_i}{s-p_i}$ ，则  $r_{zi}(t)$  形式解为：

$$r_{zi}(t) = \sum_{i=1}^n C_i e^{p_i t}$$

振幅

$$p = \sigma + j\omega$$

振荡频率



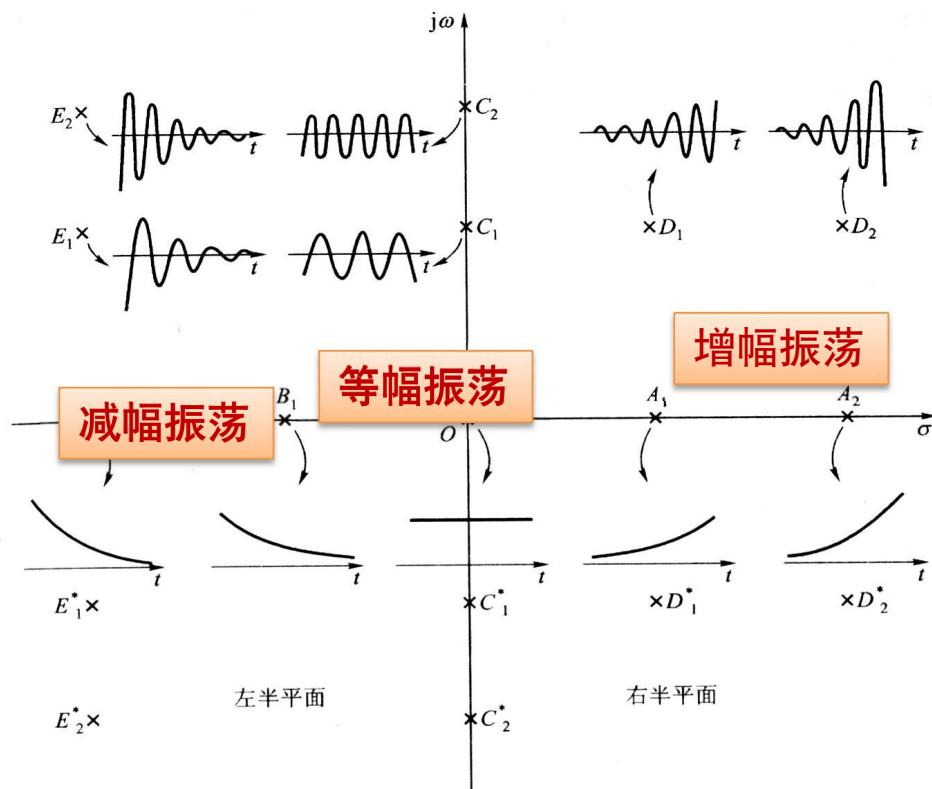
- ✓ 受迫响应或  $r_{zs}(t)$  除系统函数的极点带来的部分，还有信号极点带来的部分。



## ■ 系统函数极零点决定系统的时域特性

$$H(s) = \frac{N(s)}{D(s)} = \frac{H_0 \prod_{j=1}^m (s - z_j)}{\prod_{i=1}^n (s - p_i)} = \sum_{i=1}^n \frac{k_i}{s - p_i}$$

$$\Rightarrow h(t) = L^{-1}\{H(s)\} = \sum_{i=1}^n h_i(t) = \sum_{i=1}^n k_i e^{p_i t}$$



## ■ 系统函数极零点决定系统的频域特性 (6.4节)

## ■ 极零点分布与系统稳定性有很大关系 (6.5节)

- ◆ 6.1 引言
- ◆ 6.2 系统函数的极零图
- ◆ 6.3 系统函数的频域特性与波特图
- ◆ 6.4 系统函数的极零点与系统频域特性的关系
- ◆ 6.5 系统的稳定性

## 6.3 系统函数的频域特性与波特图



### ■ 频率特性曲线

- 如Ch.4所述，系统频域特性可以用反映幅度特性随频率变化规律的**幅频特性曲线**和反映相位特性随频率变化规律的**相频特性曲线**描述。
- 对于 $H(s)$ ，**没有必要**研究其随着任意复频率变化的规律，只需研究 $s = j\omega$ 时，沿着**s平面虚轴**变化的规律；

$$\begin{aligned} H(j\omega) &= H(s) \Big|_{s=j\omega} \\ &= U(j\omega) + jV(j\omega) = |H(j\omega)| e^{j\varphi(\omega)} \end{aligned}$$

幅频特性曲线:	$ H(j\omega)  \sim \omega$ 是 $\omega$ 的偶函数	} 仅需画出 $\omega \geq 0$ 即可
相频特性曲线:	$\varphi(\omega) \sim \omega$ 是 $\omega$ 的奇函数	

## 6.3 系统函数的频域特性与波特图



### ■ 频率特性曲线

➤ 对于因果系统， $H(j\omega)$ 的实部和虚部有特定关系；

证明：对于因果系统，有  $h(t) = h(t)\varepsilon(t)$

$$\begin{aligned}\therefore H(j\omega) &= \frac{1}{2\pi} H(j\omega) * [\pi\delta(\omega) + \frac{1}{j\omega}] = \frac{1}{2\pi} H(j\omega) * \pi\delta(\omega) + \frac{1}{2\pi} H(j\omega) * \frac{1}{j\omega} \\ &= \frac{1}{2} H(j\omega) + \frac{1}{2\pi j} H(j\omega) * \frac{1}{\omega}\end{aligned}$$

$$\therefore H(j\omega) = \frac{1}{j\pi} H(j\omega) * \frac{1}{\omega}$$

$$\therefore R(j\omega) + jX(j\omega) = \frac{1}{j\pi} [R(j\omega) + jX(j\omega)] * \frac{1}{\omega} = \frac{1}{\pi} X(j\omega) * \frac{1}{\omega} - j \frac{1}{\pi} R(j\omega) * \frac{1}{\omega}$$

对比两个复数，可得

$$\therefore R(j\omega) = \frac{1}{\pi} X(j\omega) * \frac{1}{\omega} = \frac{1}{\pi} \int_{-\infty}^{+\infty} \frac{X(j\gamma)}{\omega - \gamma} d\gamma$$

$$X(j\omega) = -\frac{1}{\pi} R(j\omega) * \frac{1}{\omega} = -\frac{1}{\pi} \int_{-\infty}^{+\infty} \frac{R(j\gamma)}{\omega - \gamma} d\gamma$$

即  $R(j\omega)$  与  $X(j\omega)$  可相互推导。

物理可实现系统的系统函数  
需要满足这两个公式！

### ■ 波特图（自学）

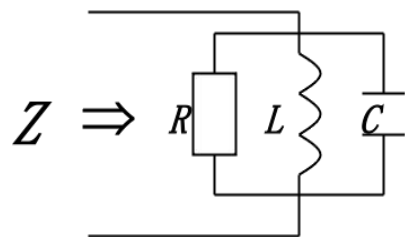
- 频率特性曲线是系统特性最常见的描述方式，但是在一些使用中会有不便：
  - ✓ 不能解决**信号动态范围**与精度之间的矛盾；
  - ✓ 不能解决**频率范围**与精度之间的矛盾；
- 波特图采用**对数坐标**，解决了上面的问题。

## 6.3 系统函数的频域特性与波特图



### ■ 频率特性曲线

例：RLC并联网络，输入阻抗  $Z = \frac{U_1}{I_1} = |Z|e^{j\varphi}$

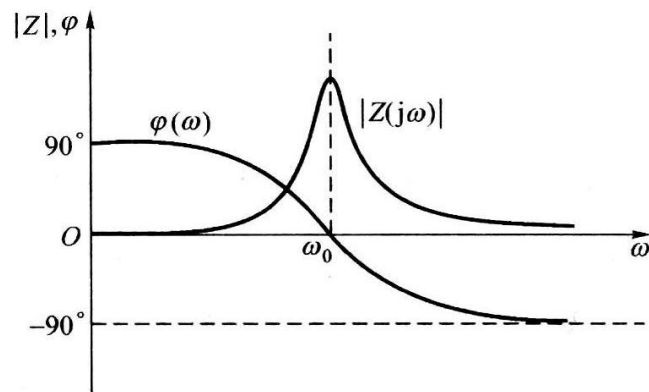


解：

$$Z = \frac{1}{\frac{1}{R} + j\omega C + \frac{1}{j\omega L}} = \frac{j\omega LR}{R - RLC\omega^2 + j\omega L}$$

$$= \frac{j\omega LR}{R(1 - \frac{\omega^2}{\omega_0^2}) + j\omega L}, \quad \text{其中 } \omega_0 = \frac{1}{\sqrt{LC}}$$

$$|Z| = \frac{\omega LR}{\sqrt{R^2(1 - \frac{\omega^2}{\omega_0^2})^2 + \omega^2 L^2}} \leq R, \quad \varphi = 90^\circ - \arctg \frac{\omega L}{R(1 - \frac{\omega^2}{\omega_0^2})}$$



频率特性曲线

- ◆ 6.1 引言
- ◆ 6.2 系统函数的极零图
- ◆ 6.3 系统函数的频域特性与波特图
- ◆ 6.4 系统函数的极零点与系统频率特性的关系
- ◆ 6.5 系统的稳定性

## 6.4 极零点与系统频率特性关系



### 极零点分布决定系统的频域特性

$$H(s) = H_0 \frac{(s - z_1)(s - z_2) \cdots (s - z_m)}{(s - p_1)(s - p_2) \cdots (s - p_n)}$$

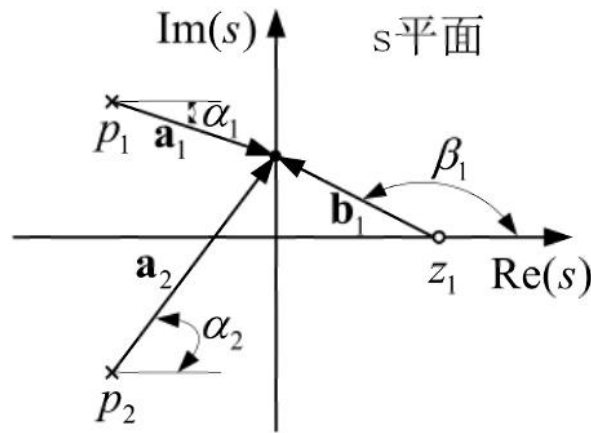
令  $s = j\omega$ ，有  $H(j\omega) = H_0 \frac{(j\omega - z_1)(j\omega - z_2) \cdots (j\omega - z_m)}{(j\omega - p_1)(j\omega - p_2) \cdots (j\omega - p_n)} = |H(j\omega)| e^{j\varphi(\omega)}$ ，其中  $j\omega, z_i, p_k$  为复数，可用矢量表示：

复因式 (差矢量)  $\begin{cases} (j\omega - z_i) = \text{矢量 } j\omega \text{ 与 } z_i \text{ 之差} = z_i \text{ 点至 } j\omega \text{ 的矢量} \stackrel{\text{令}}{=} B_i e^{j\beta_i} & (A_k, B_i - \text{模}) \\ (j\omega - p_k) = \text{矢量 } j\omega \text{ 与 } p_k \text{ 之差} = p_k \text{ 点至 } j\omega \text{ 的矢量} \stackrel{\text{令}}{=} A_k e^{j\alpha_k} & (\alpha_k, \beta_i - \text{辐角}) \end{cases}$

$$\therefore H(j\omega) = H_0 \frac{B_1 B_2 \cdots B_m}{A_1 A_2 \cdots A_n} e^{j[(\beta_1 + \beta_2 + \cdots + \beta_m) - (\alpha_1 + \alpha_2 + \cdots + \alpha_n)]}$$

幅频特性： $|H(j\omega)| = H_0 \frac{B_1 B_2 \cdots B_m}{A_1 A_2 \cdots A_n}$

相频特性： $\varphi(\omega) = \sum_{i=1}^m \beta_i - \sum_{k=1}^n \alpha_k$





## 6.4 极零点与系统频率特性关系

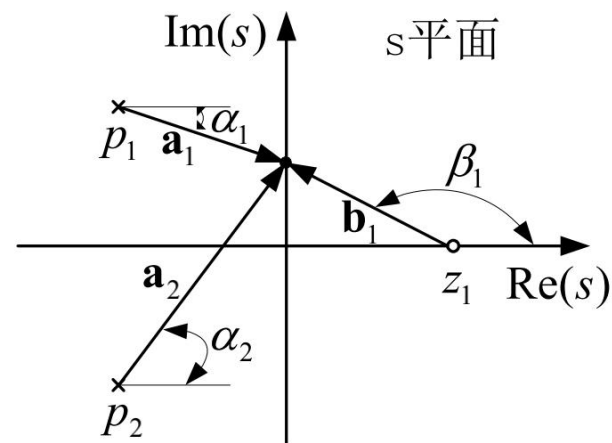


### ■ 极零点分布决定系统的频域特性

幅频特性:  $|H(j\omega)| = H_0 \frac{B_1 B_2 \cdots B_m}{A_1 A_2 \cdots A_n}$  相频特性:  $\varphi(\omega) = \sum_{i=1}^m \beta_i - \sum_{k=1}^n \alpha_k$

➤ 如果在极零图上确定了  $A_i$   $B_i$   $\alpha_i$   $\beta_i$  , 则可以得到频率特性

- ✓ 计算机没有普及时, 仅需要一张方格纸、一把尺子、一个量角器、一个计算器就可以计算画出系统的频率特性。
- ✓ 现在该方法, 多用于系统特性的**大致**判断。

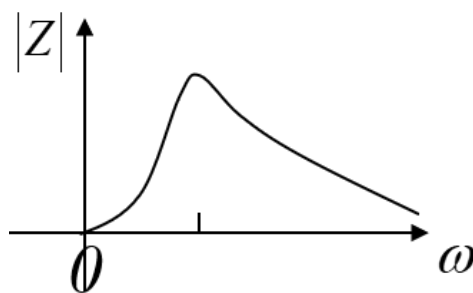
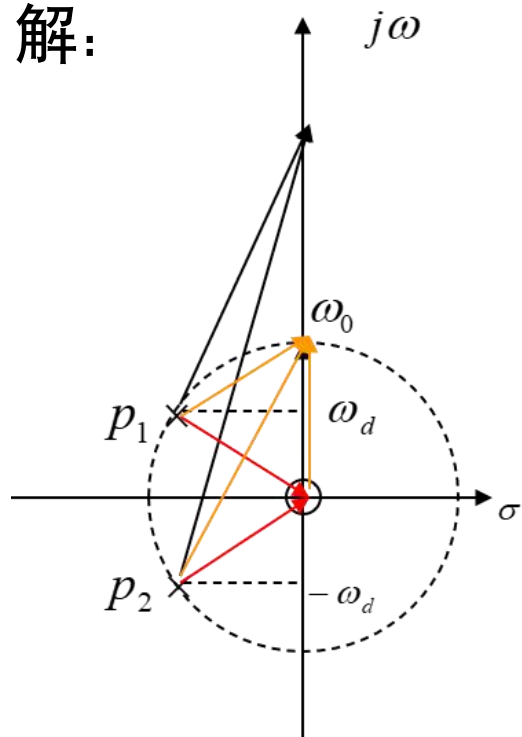


## 6.4 极零点与系统频率特性关系

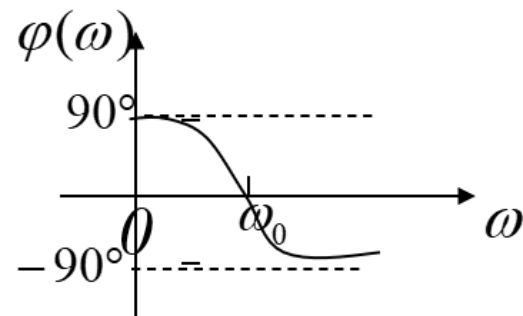


例：并联RLC电路，输入阻抗 $H(s) = \frac{s}{(s-p_1)(s-p_2)}$ ，大致画出系统的频率特性。

解：



幅频特性



相频特性

思考：大致程度？

## 6.4 极零点与系统频率特性关系



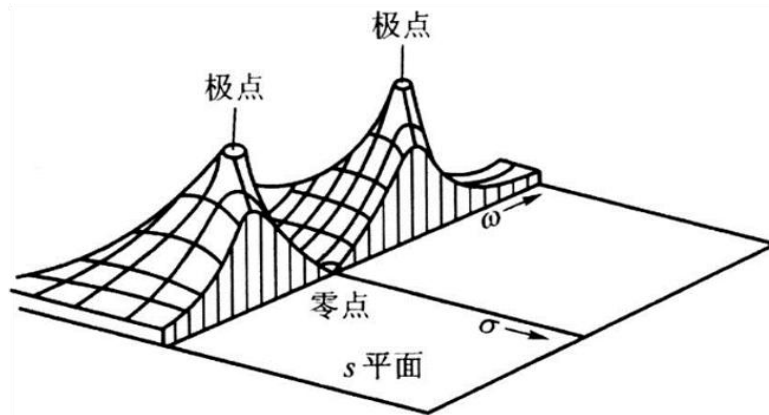
■ 根据极零图，可以**粗略确定**系统频率特性

幅频特性： $|H(j\omega)| = H_0 \frac{B_1 B_2 \cdots B_m}{A_1 A_2 \cdots A_n}$       相频特性： $\varphi(\omega) = \sum_{i=1}^m \beta_i - \sum_{k=1}^n \alpha_k$

- 当 $j\omega$ 靠近极点时， $A$ 变小，幅频特性产生一个波峰；
- 当 $j\omega$ 靠近零点时， $B$ 变小，幅频特性产生一个波谷；
- 极零点越靠近虚轴，相应的峰或谷越尖锐。当极点（或零点）正好落在虚轴上时，幅频特性出现无穷大（或零）。

回忆：并联RLC电路

$$H(s) = \frac{s}{C(s - p_1)(s - p_2)}$$



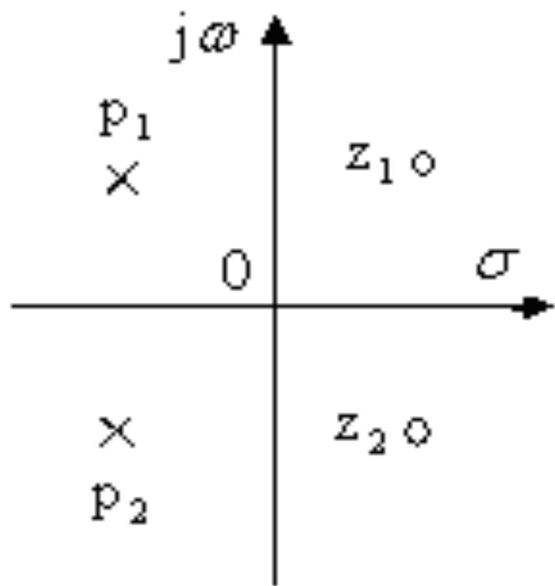
## 6.4 极零点与系统频率特性关系



### ■ 两种重要的系统函数

幅频特性:  $|H(j\omega)| = H_0 \frac{B_1 B_2 \cdots B_m}{A_1 A_2 \cdots A_n}$  相频特性:  $\varphi(\omega) = \sum_{i=1}^m \beta_i - \sum_{k=1}^n \alpha_k$

➤ 全通系统: 系统的零点和极点关于虚轴对称分布的系统。



✓  $|H(j\omega)| = H_0$ , 是与频率无关的一个常数, 意味着系统对所有的频率分量都有相同的增益, 故称全通系统。

✓ 作用: 该类网络对各种频率的信号可以**一视同仁**的传输。故常来做相位校正而不产生幅度失真。

注: 稳定系统的极点只能出现在s平面的左半平面。所以, 稳定的全通系统零点只能在右半平面。

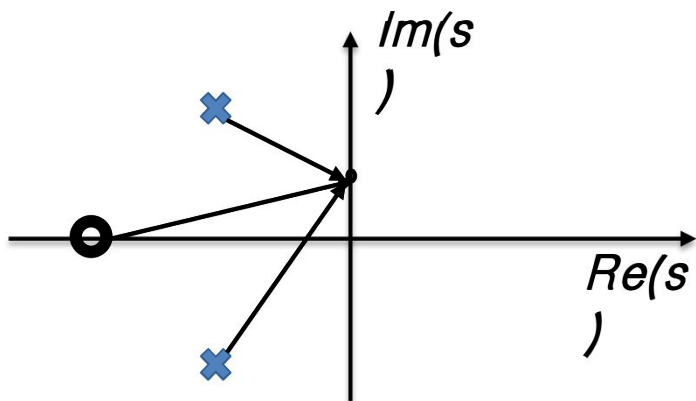
## 6.4 极零点与系统频率特性关系



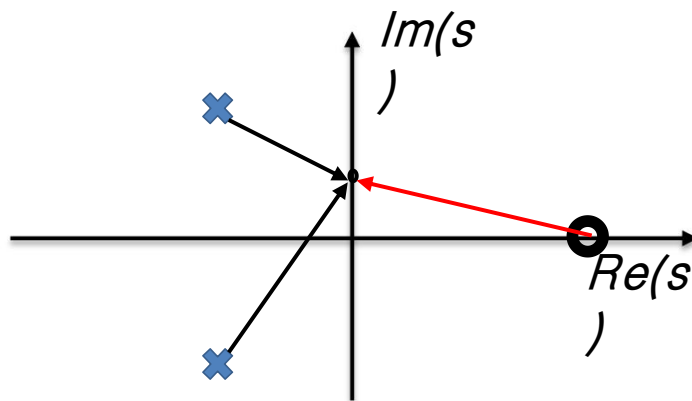
### ■ 两种重要的系统函数

幅频特性:  $|H(j\omega)| = H_0 \frac{B_1 B_2 \cdots B_m}{A_1 A_2 \cdots A_n}$  相频特性:  $\varphi(\omega) = \sum_{i=1}^m \beta_i - \sum_{k=1}^n \alpha_k$

- 最小相位系统: 系统的极零点全部处于虚轴以左的系统。



系统1的极零图



系统2的极零图

- ✓ 最小的含义: 相同  $|H(j\omega)|$  的系统中, 对信号的相位移最小的系统。如, 系统1和系统2的幅频特性相同, 但是系统1的  $\varphi(\omega)$  小。
- ✓ 思考: 该类系统用途?

- ◆ 6.1 引言
- ◆ 6.2 系统函数的极零图
- ◆ 6.3 系统函数的频域特性与波特图
- ◆ 6.4 系统函数的极零点与系统频率特性的关系
- ◆ 6.5 系统的稳定性

### ■ 稳定系统定义

- 如果系统对于有限（有界）的激励（即存在常数 $M_e$ ，使得 $|e(t)| < M_e$ 在任何条件下均成立），有有限的响应（即存在常数 $M_r$ ，使得 $|r(t)| < M_r$ 在任何条件下均成立），则该系统为稳定系统。简言之，在有限激励下有有限响应的系统称作稳定系统。
- 有限输入有限输出（boundary-input, boundary-output, BIBO）特性。

## 6.5 系统的稳定性



### ■ 系统稳定的条件： From 零输入响应

- 由6.3知道，系统的零输入响应的模式取决于系统函数 $H(s)$ 的极点。对于极点 $p_i = \sigma_i + j\omega$ ，零输入响应中会有 $C_i e^{p_i t}$ （一阶极点情况）或者 $C_i t^n e^{p_i t}$ （高阶极点情况）；
- 一阶极点：响应包含 $C_i e^{\sigma_i t} e^{j\omega t}$ ，要求  $\sigma_i \leq 0$ ；
- 高阶极点：假设 $r$ 阶极点，响应包含
$$(A_r t^{r-1} + A_{r-1} t^{r-2} + \cdots A_2 t + A_1) e^{\sigma_i t} e^{j\omega t}$$
要求 $\sigma_i < 0$ ；

✓ 从零输入响应看，系统稳定要求 $H(s)$ 的极点不能在右半平面，如果在虚轴上有极点，该极点只能是一阶极点。



图 5-2 与复平面上位置不同的复频率相对应的时间函数模式图,带有 \* 号的点如  $C_1^*$ ,  $D_1^*$  等与其共轭点  $C_1$ ,  $D_1$  等分别合起来代表一时间模式

## 6.5 系统的稳定性



### ■ 系统稳定的条件： From 零状态响应

- 如果系统在虚轴上有一阶极点（纯LC网络），其冲激响应存在无阻尼正弦函数，不满足稳定性判定条件。这样的系统稳定吗？
- 如果激励信号恰巧也在虚轴上相同位置有一阶极点，此时，激励有限，但是，响应中出现重极点，响应信号有随时间增大的振荡，系统不稳定。

## 6.5 系统的稳定性

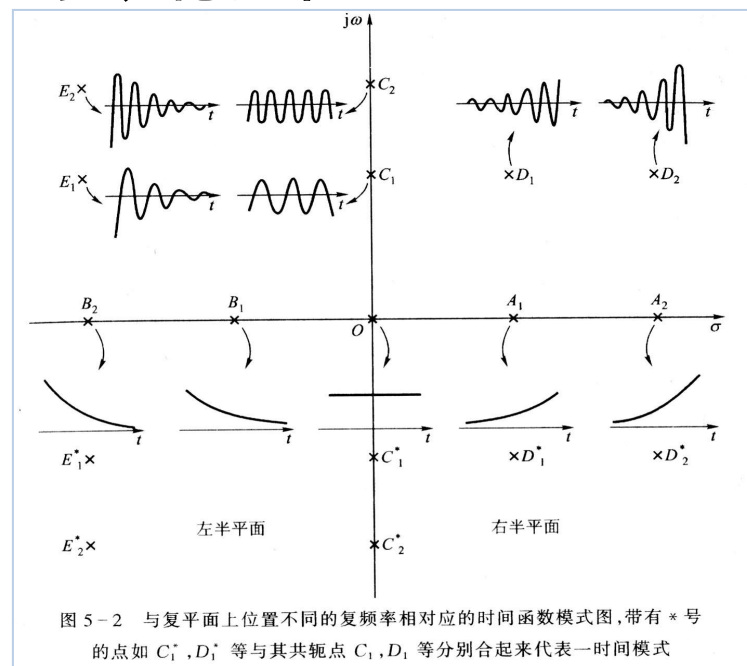


### ■ 系统稳定的条件： From 零状态响应

➤ 充要条件：冲激响应函数绝对可积，即  $\int_{-\infty}^{+\infty} |h(t)| dt < +\infty$ 。  
对于因果系统，则  $\int_0^{+\infty} |h(t)| dt < +\infty$ 。（证）

➤ 由于  $h(t) \leftrightarrow H(s)$ ， $H(s)$ 的极点决定系统稳定性。

- ✓ 极点全在  $s$  平面左半平面  $\rightarrow$  满足绝对可积  $\rightarrow$  稳定；
- ✓ 有极点在  $s$  平面右半平面  $\rightarrow$  不满足绝对可积  $\rightarrow$  不稳定；
- ✓ 虚轴上有高阶极点  $\rightarrow$  不满足绝对可积  $\rightarrow$  不稳定；
- ✓ 虚轴上有一阶极点  $\rightarrow$  临界稳定；



## 6.5 系统的稳定性



### ■ 系统是否稳定取决于系统函数的极点分布

- 极点全在 $s$ 平面的左半平面  $\rightarrow$  稳定;
  - 虚轴上有一阶极点  $\rightarrow$  临界稳定;
  - 有极点在 $s$ 平面右半平面或虚轴上有高阶极点  $\rightarrow$  不稳定;
- 
- 临界稳定系统在实际工作中不能确保稳定，系统参数略有变化就可能导致不稳定，而且不能保证对任何激励系统都稳定。所以，也有文献直接将临界稳定看作不稳定系统。

## 6.5 系统的稳定性



### ■ 系统稳定性判据

- 根据 $H(s)$ 的极点位置来判断;

$$H(s) = \frac{b_m s^m + b_{m-1} s^{m-1} + \cdots + b_1 s + b_0}{a_n s^n + a_{n-1} s^{n-1} + \cdots + a_1 s + a_0} = \frac{N(s)}{D(s)}$$

- 对于高阶系统，极点不好计算时？
  - ✓ 分母多项式 $D(s)$ 没有实部大于零的根的**必要条件**是所有系数 $a_i$ 不为零并且同号；如果缺项或不同号，那么可直接判定系统不稳定；如果不缺项且同号，则需进一步判断；  
(如果有零项，最多临界稳定)
  - ✓ **罗斯-霍维茨法则**；

# 6.5 系统的稳定性



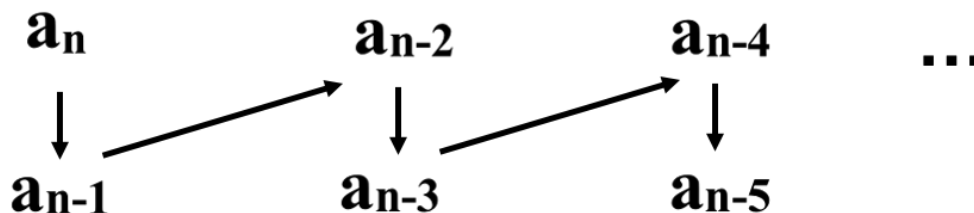
## ■ 系统稳定性判据

$$H(s) = \frac{b_m s^m + b_{m-1} s^{m-1} + \cdots + b_1 s + b_0}{a_n s^n + a_{n-1} s^{n-1} + \cdots + a_1 s + a_0} = \frac{N(s)}{D(s)}$$

### ➤ 罗斯-霍维茨法则

- ✓ 根据  $a_i$  判断  $D(s)$  是否有实部大于零的根以及这类根的个数;
- ✓ 核心思想: **R-H数列** 不变号  $\rightarrow$  稳定;
- ✓ 步骤:

step1:



# 6.5 系统的稳定性



## ■ 系统稳定性判据

step2: 计算下面各列  $\Rightarrow$  R-H 阵列 ( $n$  阶系统要排  $n+1$  行)

$A_n$	$B_n$	$C_n$	$D_n$	...
$A_{n-1}$	$B_{n-1}$	$C_{n-1}$	$D_{n-1}$	...
$A_{n-2}$	$B_{n-2}$	$C_{n-2}$		
$A_{n-3}$				
$\vdots$				
$A_2$	$B_2$	0		
$A_1$	0	0		
$A_0$	0	0		

R-H数列

Step 1中数列

$$A_{i-1} = \frac{A_i B_{i+1} - A_{i+1} B_i}{A_i}$$

$$B_{i-1} = \frac{A_i C_{i+1} - A_{i+1} C_i}{A_i}$$

...



step 3: R-H数列变号次数等于实部大于零的根的个数。

## 6.5 系统的稳定性



### ■ 系统稳定性判据

- 利用L-H准则，可以判定系统稳定性

例：  $D(s) = 2s^3 + s^2 + s + 6$

- 利用L-H准则，还有助于稳定系统设计

例：  $D(s) = s^3 + 5s^2 + 4s + K$ ，求系统稳定的K值范围



## 6.5 系统的稳定性



### ■ 系统稳定性判据

例:  $D(s) = s^4 + s^3 + 2s^2 + 2s + 3$

Tips: 如果计算中出现 $A_i = 0$ , 下边各行就无法计算下去。解决方案:

- ✓ 法1: 将原来的 $D(s)$ 乘以 $s + 1$ , 再重新计算;
- ✓ 法2: 将0用无穷小量 $\varepsilon$ 代替, 继续计算;

## 6.5 系统的稳定性



### ■ 系统稳定性判据

例:  $D(s) = s^5 + s^4 + 3s^3 + 3s^2 + 2s + 2$

Tips: 如果计算中出现全零行, 说明系统在虚轴上有极点, 系统最多临界稳定。是否临界稳定, 需作进一步判断:

- ✓ Step1: 用全零行上一行的辅助多项式的导数的系数替代全零行继续计算, 判定是否有实部大于零的根;
- ✓ Step2: 求解辅助多项式的根, 从而判断虚轴上极点的阶数, 从而判定是否临界稳定。



## ■ 课后练习

6.7-6.9、6.14、6.15